

بِسْمِ اللّٰهِ الرَّحْمٰنِ الرَّحِيْمِ



دانشگاه صنعتی اصفهان

دانشکده عمران

## بررسی عددی رفتار لرزهای اتصال مقاوم خمشی تیر به ستون بتی پیش ساخته

پایان نامه کارشناسی ارشد عمران

گرانش سازه

معین الدین ظفری نائینی

استاد راهنما

دکتر مرتضی مرح خوان



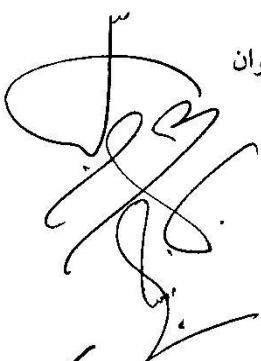
دانشگاه صنعتی اصفهان  
دانشکده مهندسی عمران

## پایان نامه کارشناسی ارشد رشته مهندسی عمران- گرایش سازه آقای معین الدین ظفری نائینی

### تحت عنوان

### بررسی عددی رفتار لرزه‌ای اتصال مقاوم خمشی تیر به ستون بتونی پیش‌ساخته

در تاریخ ۱۴۰۰/۲/۱۴ توسط کمیته تخصصی زیر مورد بررسی و تصویب نهایی قرار گرفت.

- |   |                     |                                 |
|---|---------------------|---------------------------------|
|  | دکتر مرتضی مدح خوان | ۱- استاد راهنمای پایان نامه     |
|  | دکتر علیرضا خالو    | ۲- استاد داور                   |
|  | دکتر فرهاد بهنام‌فر | ۳- استاد داور                   |
|  | دکتر عبدالرضا کبیری | ۴- مسئول تحصیلات تکمیلی دانشکده |

## پاسکنزاری

حمد و تائیش ایزد مهربان که قدم در راه علم را به من توفیق عطا نمود، باشد که شاگرد باشم. داین رحکمند، ثایر است از تمامی عزیزانی که مراد این راهیاری نمودند. نشتر و قدردانی نمایم. سرتقطیم در برابر پروردگار عزیزم فرود می آورم، بر دستانشان بوسه می زنم و آن دورانی تایم که تحمل صرده لطف خداوندی برای من بستند. از خداوند بزرگ برای ایشان طول عمر قرین باسلامتی و عزت و شادی طلب می کنم. از دو برادر عزیزم که هماره مشوق و پشتیان من بوده‌اند، شکر نموده و از خداوند متعال موافقیت، شادکامی و سرافرازی بیشگی را برایشان خواستارم.

از استاد ارجمند و گرامی جناب آقایی دکتر روح خوان بسیار پاسکنزارم که درکلیه مراحل انجام این پیان نامه با داشت و تجربه خود را بهمنی من بودند و شاگردی ایشان همیشه افتخار من بوده، بست و خواهد بود. همچنین برخود لازم می داشتم از استاد ارجمند جناب آقايان دکتر خالو و دکتر بسالم فرگه با صبر و حوصله فراوان این پیان نامه را مطالعه و با پیشنهادی علمی و سازنده‌ی خود به غنی تر شدن مطالب اراده شده گذاشت به سزاگی نمودند پاسکنزاری نمایم. از جناب آقايان دکتر بر و مندو دکتر شایحی که با راهنمایی‌های سازنده‌ی خود مراد انجام این پیان نامه‌یاری بخشیده نیز چنان شکردارم. از تمامی استادی عران دانشگاه صنعتی اصفهان که علاوه بر مطالب علمی، درس‌های زنگی به من آموختند تقدیر می نمایم. امیدوارم همه‌ی این عزیزان در تمام مراحل زنگی موفق و پیروز باشند.

جاداره از شرکت دیسان و به ویژه جناب منند آقايان که با پشتیبانی مالی و تجهیزاتی خود مراد انجام این تحقیقی یاری نمودند پاسکنزاری نمایم. در پیان، از دوستان عزیزم به ویژه آقايان منند سید حسین دیباچان، منند سید جلیل حسینی، منند سید سکن زیباخن و منند محمد صالحیان و همچنین مسئولین پر تلاش سایت کامپیوتری دانشگاه عران سرکار حنفی هافروغی و بهشی که در تمام این مدت سیمازه براه من بودند، شکری کنم و امیدوارم در همه‌ی مرحله زنگی شاد و سرمهند و سلامت باشند.

باس پژوهان

مسمی الدین نظری نایینی

اردیبهشت ۱۳۹۰

کلیه حقوق مادی مترتب بر نتایج  
مطالعات، ابتكارات و نوآوری‌های ناشی از  
تحقیق موضوع این پایان‌نامه (رساله) متعلق به  
دانشگاه صنعتی اصفهان است.

تّقدیم به دو فرسته‌تی مهربان و دلوز باغ زنگیم

## مدر و مادر

۴

عزیزم

## فهرست مطالب

<u>عنوان</u>	<u>صفحه</u>
فصل اول: مقدمه	
۱-۱- مقدمه	۲
۱-۲- مروری بر تاریخچه پیش ساختگی	۲
۱-۳- مزایای سیستم سازه‌ای پیش ساخته	۳
۱-۳-۱- مزایای سیستم سازه‌ای پیش ساخته	۳
۱-۳-۲- مزایای سیستم سازه‌ای پیش ساخته	۴
۱-۴- انواع سیستم‌های سازه‌ای پیش ساخته	۴
۱-۴-۱- سیستم جعبه‌ای	۴
۱-۴-۲- سیستم دیوار باربر	۵
۱-۴-۳- سیستم سازه‌ای اسکلتی	۵
۱-۵- انواع اتصالات در سازه‌های پیش ساخته	۷
۱-۵-۱- انواع اتصالات در سازه‌های پیش ساخته از نظر شیوه اجرا	۸
۱-۵-۲- انواع اتصالات در سازه‌های پیش ساخته از نظر درصد گیرداری	۹
۱-۵-۳- انواع اتصالات در سازه‌های پیش ساخته از نظر محل اتصال	۱۰
۱-۶- اهمیت موضوع	۱۰
۱-۷- هدف تحقیق	۱۱
۱-۸- فصل بندی پایان نامه	۱۲
فصل دوم: مروری بر تحقیقات پیشین	
۱-۲- مقدمه	۱۳
۲-۱- تحقیقات پیشین	۱۳
۲-۱-۱- پروژه NIST	۱۳
۲-۱-۲- پروژه PRESSS	۱۵
۲-۲- تحقیقات Bull و Park	۱۷
۲-۳- تحقیقات Restrepo و همکاران	۱۹
۲-۴- تحقیقات Khoo و همکاران	۲۲

۲۴.....	۶-۲-۲- تحقیقات Ousalem و همکاران.....
۲۶.....	۲-۳- تحقیقات انجام گرفته در ایران .....
۲۶.....	۲-۳-۱- تحقیقات پرستش و خالو.....
۲۸.....	۲-۳-۲- تحقیقات اخلاقی و مؤمنی .....
۲۸.....	۲-۳-۳- تحقیقات بختیاری دوست و خالو.....
۲۹.....	۲-۳-۴- رفع زاده و بهنامفر.....
۳۰.....	۴-۲- خلاصه فصل.....
<b>فصل سوم: مدل‌سازی در نرم‌افزار و پارامترهای مؤثر بر آن</b>	
۳۱.....	۱-۳- مقدمه .....
۳۱.....	۲-۳- بررسی رفتار پلاستیک بتن .....
۳۳.....	۳-۳- مفاهیم مورد نیاز برای تعیین سطح تسليم در مسائل سه بعدی.....
۳۶.....	۳-۴- خصوصیات کلی سطح تسليم در بتن .....
۳۷.....	۳-۵- تئوری‌های پلاستیسیته به کار رفته .....
۳۷.....	۳-۵-۱- معیار تسليم ون - مایسز .....
۳۸.....	۳-۵-۲- معیار شکست دراکر - پراگر .....
۳۹.....	۳-۶- رفتار پس از تسليم .....
۴۰.....	۳-۷- معرفی تئوری پلاستیسیته حاکم بر رفتار بتن در نرم‌افزار.....
۴۱.....	۳-۷-۱- ثابت‌های تنش مؤثر .....
۴۱.....	۳-۷-۲- تابع پتانسیل جریان پلاستیک .....
۴۲.....	۳-۷-۳- سطوح تسليم .....
۴۴.....	۳-۸- معرفی ماده بتن در نرم‌افزار .....
۴۴.....	۳-۸-۱- نمودار تنش - کرنش پلاستیک تک محوره بتن .....
۴۷.....	۳-۸-۲- پارامترهای آسیب .....
۴۸.....	۳-۸-۳- ویسکوزیته .....
۴۹.....	۳-۹- معرفی فولاد و میلگردهای مصرفی در نرم‌افزار .....
۴۹.....	۳-۹-۱- معرفی ماده فولاد در نرم‌افزار .....
۴۹.....	۳-۹-۲- مدل‌سازی آرماتورها .....
۵۰.....	۳-۱۰- المان‌های مورد استفاده .....

۱۱-۳- ابعاد المان‌های مورد استفاده.....	۵۰
۱۲-۳- روش حل عددی مورد استفاده.....	۵۱
۱۳-۳- شرایط مرزی و بارگذاری .....	۵۱
۱۴-۳- خلاصه فصل.....	۵۱
<b>فصل چهارم: اتصال آرماتورها به کمک اسلیو و مدل‌سازی آن</b>	
۱-۴- مقدمه.....	۵۲
۲-۴- بستهای مکانیکی.....	۵۲
۳-۴- نکات آینه‌ای در استفاده از بستهای مکانیکی.....	۵۳
۴-۳-۴- ۱- بستهای مکانیکی نوع اول.....	۵۴
۴-۳-۴- ۲- بستهای مکانیکی نوع دوم.....	۵۴
۴-۴- اسلیوها.....	۵۵
۴-۴- ۱- تحقیقات <i>Einea</i> و همکاران.....	۵۶
۴-۴- ۲- تحقیقات <i>Kim</i> .....	۵۷
۴-۴- ۳- تحقیقات مؤسسه حمل و نقل میشیگان.....	۵۸
۴-۴- ۴- تحقیقات مشترک دانشگاه تکنولوژی و مؤسسه‌ی تحقیقات ساختمان مالزی .....	۶۰
۴-۴- ۵- تحقیقات <i>Hiang Miang</i> .....	۶۲
۴-۴- ۶- تنش‌های چسبندگی بین بتن و میلگرد.....	۶۲
۴-۴- ۷- تحقیقات <i>Henry</i> و <i>Untrauer</i> و همکاران.....	۶۳
۴-۴- ۸- تحقیقات <i>Eligehausen</i> و همکاران.....	۶۳
۴-۴- ۹- تحقیقات <i>Bigaj</i> و <i>Uijl</i> و همکاران.....	۶۴
۴-۴- ۱۰- تحقیقات <i>Haskett</i> و همکاران.....	۶۶
۴-۴- ۱۱- مکانیزم لغزش میلگرد آجدار از داخل بتن .....	۶۷
۴-۴- ۱۲- مدل چسبندگی- لغزش مورد استفاده در این مطالعه.....	۶۸
۴-۴- ۱۳- نحوه‌ی مدل‌سازی اجزای اتصال اسلیو گروتی در نرم‌افزار .....	۷۰
۴-۴- ۱۴- اسلیو و آرماتورها .....	۷۱
۴-۴- ۱۵- گروت.....	۷۱
۴-۴- ۱۶- المان‌های چسبنده .....	۷۱

۴-۴-نحوه‌ی تنظیم پارامترهای المان‌های چسبینه با مدل چسبندگی - لغزش.....	۷۵
۴-۵-شرایط مرزی.....	۷۶
۴-۶-بررسی صحت مدل‌سازی .....	۷۷
۴-۷-۱- مدل‌سازی در نرم‌افزار .....	۷۷
۴-۸-۲- مقایسه نتایج تحلیلی و آزمایشگاهی .....	۸۰
۴-۹-۳- مدل‌سازی اسلیو به کار رفته در اتصال <i>Ousalem</i> و همکاران [۳۴].....	۸۴
۴-۱۰-۴- مدل‌سازی اسلیو به کار رفته در اتصالات پیش‌ساخته‌ی طراحی شده.....	۸۵
۴-۱۱-۴- مدل‌سازی اسلیو به کار رفته در اتصالات پیش‌ساخته‌ی طراحی شده.....	۸۸
۴-۱۲-۴- آزمایش‌های انجام شده در دانشگاه صنعتی اصفهان.....	۹۰
۴-۱۳-۴- خلاصه فصل .....	۹۰
<b>فصل پنجم : بررسی صحت مدل‌سازی اتصالات در نرم‌افزار</b>	
۵-۱- مقدمه .....	۹۱
۵-۲- مشکلات مدل‌سازی بارگذاری رفت و برگشتی .....	۹۱
۵-۳- مدل‌سازی اتصال یکپارچه .....	۹۲
۵-۴- مقایسه نتایج تحلیلی و آزمایشگاهی در اتصال یکپارچه .....	۹۴
۵-۵- ۱- منحنی بار - تغییر مکان .....	۹۵
۵-۶- ۲- مود شکست نمونه .....	۹۵
۵-۷- ۳- الگوی ترک خوردگی .....	۹۶
۵-۸- ۴- مدل‌سازی اتصال پیش‌ساخته مورد نظر .....	۹۷
۵-۹- ۵- مقایسه نتایج تحلیلی و آزمایشگاهی در اتصال پیش‌ساخته .....	۱۰۰
۵-۱۰- ۱- منحنی برش - دریفت طبقه .....	۱۰۰
۵-۱۱- ۲- مود شکست نمونه .....	۱۰۲
۵-۱۲- ۳- الگوی ترک خوردگی .....	۱۰۴
۵-۱۳- ۴- بررسی اثر لغزش مهاری و توانایی نرم‌افزار در این زمینه .....	۱۰۶
۵-۱۴- ۵- ۱- نفوذ کرنش .....	۱۰۶
۵-۱۵- ۲- لغزش آرماتورها در داخل بتن .....	۱۰۶
۵-۱۶- ۳- توانایی نرم‌افزار .....	۱۰۷
۵-۱۷- ۴- بررسی رفتار اتصال بتنی پیش‌ساخته همراه با لغزش مهاری .....	۱۰۷

۸-۸- مقایسه نتایج تحلیلی و آزمایشگاهی در اتصال پیش ساخته.....	۱۱۱
۸-۸-۱- منحنی بار- تغییر مکان .....	۱۱۲
۸-۸-۲- مود شکست نمونه .....	۱۱۲
۸-۸-۳- الگوی ترک خوردگی .....	۱۱۳
۸-۹- بررسی میزان لحاظ اثر لغزش مهاری در مدل ساخته شده.....	۱۱۵
۹-۱- اختلاف بین نمودار بار- تغییر مکان تحلیل عددی و آزمایشگاهی .....	۱۱۵
۹-۲- تغییرات تنش در میلگردهای دارای لغزش.....	۱۱۶
۹-۳- تغییر شکل المان های اطراف.....	۱۱۷
۹-۴- خلاصه فصل.....	۱۱۸
<b>فصل ششم: مقایسه رفتار اتصال بتنی پیش ساخته با اتصال یکپارچه مشابه</b>	
۱-۶- مقدمه .....	۱۱۹
۲-۶- طراحی اتصال .....	۱۱۹
۳-۶- مقایسه رفتار اتصالات در حضور سربار فشاری $0.2A_g f_c'$ .....	۱۲۲
۳-۶-۱- نمودار بار- تغییر مکان جانبی .....	۱۲۲
۳-۶-۲- ترک خوردگی در اتصالات .....	۱۲۳
۳-۶-۳- جذب انرژی .....	۱۲۵
۴-۶- مقایسه رفتار اتصالات در حضور سربار فشاری $0.5A_g f_c'$ .....	۱۲۵
۴-۶-۱- نمودار بار- تغییر مکان جانبی .....	۱۲۶
۴-۶-۲- الگوی ترک خوردگی .....	۱۲۶
۴-۶-۳- جذب انرژی .....	۱۲۸
۵-۶- سربار محوری کششی $0.5A_s F_y$ .....	۱۲۸
۵-۶-۱- نمودار بار- تغییر مکان جانبی .....	۱۲۹
۵-۶-۲- الگوی ترک خوردگی .....	۱۳۱
۵-۶-۳- جذب انرژی .....	۱۳۳
۶-۶- سربار محور کششی $0.9A_s F_y$ .....	۱۳۳
۶-۶-۱- نمودار بار- تغییر مکان جانبی .....	۱۳۴
۶-۶-۲- الگوی ترک خوردگی .....	۱۳۶

۱۳۷.....	۶-۳- جذب انرژی .....
۱۳۸.....	۶-۷- بررسی تأثیرات سربار محوری بر عملکرد اتصالات بتنی .....
۱۳۸.....	۶-۷-۱- نمودار بار - تغییر مکان جانبی .....
۱۳۹.....	۶-۷-۲- مود شکست اتصال .....
۱۳۹.....	۶-۷-۳- جذب انرژی .....
۱۴۰ .....	۶-۸- خلاصه فصل .....
<b>فصل هفتم : مروی بر مطالعات انجام شده، نتیجه‌گیری و پیشنهادات</b>	
۱۴۲.....	۷-۱- مقدمه .....
۱۴۲.....	۷-۲- خلاصه کارهای انجام شده در این پژوهش .....
۱۴۴.....	۷-۳- نتیجه‌گیری .....
۱۴۵.....	۷-۴- پیشنهادهایی برای پژوهش‌های بعدی .....
۱۴۷.....	<b>مراجع</b> .....

## فهرست شکل‌ها

صفحه	عنوان
۴	شکل ۱-۱ سیستم سازه‌ای پیش ساخته جعبه‌ای
۵	شکل ۱-۲ سیستم سازه‌ای پیش ساخته دیوار باربر
۶	شکل ۱-۳ سیستم سازه‌ای پیش ساخته اسکلتی با ستون یکپارچه
۶	شکل ۱-۴ سیستم سازه‌ای پیش ساخته اسکلتی با ستون مجرزا
۷	شکل ۱-۵ سیستم سازه‌ای پیش ساخته اسکلتی قاب پرتال
۷	شکل ۱-۶ سیستم سازه‌ای پیش ساخته اسکلتی دال-ستون
۸	شکل ۱-۷ اتصال خشک در سازه‌های بتی پیش ساخته [۲]
۹	شکل ۱-۸ اتصال تر در سازه‌های بتی پیش ساخته [۲]
۹	شکل ۱-۹ جزئیات اتصال از نظر درجه گیرداری [۲]
۱۰	شکل ۱-۱۰ جزئیات اتصالات مختلف بر اساس اعضای متصل شونده [۷]
۱۴	شکل ۱-۱۴ شرایط مرزی و تاریخچه بار جانبی اعمالی به نمونه‌های مورد آزمایش در پروژه NIST [۱]
۱۶	شکل ۲-۱ پلان طبقات اول تا سوم سازه مورد آزمایش در پروژه PRESSS [۲۷]
۱۷	شکل ۲-۲ نمایی از طبقات سازه مورد آزمایش در پروژه PRESSS [۲۷]
۱۷	شکل ۲-۳ نمایی از طبقات سازه مورد آزمایش در پروژه Bull و Park [۲۸]
۱۸	شکل ۲-۴ جزئیات اتصال تیر به ستون معرفی شده توسط Bull و Park [۲۸]
۱۹	شکل ۲-۵ نمایی از شرایط مرزی و نحوه بارگذاری در اتصال معرفی شده توسط Bull و Park [۲۸]
۱۹	شکل ۲-۶ پاسخ هیسترزیس و نمایی از خسارات وارد شده به اتصال نمونه ۱ در طول آزمایش Bull و Park [۲۸]
۱۹	شکل ۲-۷ پاسخ هیسترزیس و نمایی از خسارات وارد شده به اتصال نمونه ۲ در طول آزمایش Bull و Park [۲۸]
۲۰	شکل ۲-۸ نمودار لنگر خمی تیر واقع در قاب‌های خمی پیرامونی [۸]
۲۱	شکل ۲-۹ نمونه‌های صلیبی شکل مورد آزمایش توسط Restrepo و همکاران [۸]
۲۲	شکل ۲-۱۰ قاب‌های بارگذاری مورد استفاده برای آزمایش نمونه‌ها در تحقیقات Restrepo و همکاران [۸]
۲۳	شکل ۲-۱۱ مراحل اجرا و جزئیات اتصالات مورد بررسی توسط Khoo و همکاران [۳۲]

- شکل ۲-۱۲ نمایی از جزئیات اتصال تیر سراسری به ستون ..... ۲۴
- شکل ۲-۱۳ نحوه اتصال بین اعضای پیش ساخته در اتصال معرفی شده توسط *Ousalem* و همکاران [۳۴] ..... ۲۵
- شکل ۲-۱۴ نحوه بارگذاری نمونه ها در آزمایش های *Ousalem* و همکاران [۳۴] ..... ۲۵
- شکل ۲-۱۵ جزئیات اتصال تیر به ستون بتنی پیش ساخته پیشنهادی پرستش و خالو [۳۶] ..... ۲۶
- شکل ۲-۱۶ بارگذاری شبه استاتیکی جانی وارد بر نمونه ها [۳۶] ..... ۲۷
- شکل ۲-۱۷ نحوه بارگذاری نمونه ها در فاز اول و دوم تحقیقات پرستش و خالو [۳۶ و ۳۷] ..... ۲۸
- شکل ۲-۱۸ جزئیات اتصال تیر به ستون بتنی پیش ساخته مورد بررسی در تحقیقات بختیاری دوست و خالو [۳۹] ..... ۲۹
- شکل ۳-۱ نمودار تنش-کرنش بارگذاری تک محوره بتن [۴۲] ..... ۳۲
- شکل ۳-۲ سطح گسیختگی بتن تحت تنش دو محوره [۴۲] ..... ۳۳
- شکل ۳-۳ مؤلفه های تنش در فضای تنش های اصلی [۴۱] ..... ۳۴
- شکل ۳-۴ صفحه ای انحرافی و مقطع عرضی یک سطح گسیختگی [۴۱] ..... ۳۶
- شکل ۳-۵ منحنی نصف النهاری بدست آمده از تحقیقات تجربی [۴۱] ..... ۳۷
- شکل ۳-۶ معیار تسلیم ون-مایسز [۴۱] ..... ۳۸
- شکل ۳-۷ مقایسه مدل های مور-کلمب و دراکر-پراگر در صفحه ای انحرافی [۴۲] ..... ۳۸
- شکل ۳-۸ معیار شکست دراکر-پراگر [۴۱] ..... ۳۹
- شکل ۳-۹ رفتار پلاستیک مواد مختلف پس از تسلیم ..... ۴۰
- شکل ۳-۱۰ تابع بتناسیل جریان دراکر-پراگر [۴۲] ..... ۴۲
- شکل ۳-۱۱ اثر مقدار  $K$  بر روی مقطع عرضی سطح تسلیم [۴۲] ..... ۴۳
- شکل ۳-۱۲ سطح تسلیم در شرایط تنش صفحه ای [۴۲] ..... ۴۳
- شکل ۳-۱۳ مدل تحلیلی برای بیان نمودار تنش-کرنش بتن در فشار [۴۷] ..... ۴۵
- شکل ۳-۱۴ نحوه محاسبه کرنش پلاستیک از نمودار تنش-کرنش [۴۲] ..... ۴۶
- شکل ۳-۱۵ مدل های تحلیلی برای بیان نمودار تنش-کرنش بتن در کشش [۴۷] ..... ۴۷
- شکل ۳-۱۶ نمودار تنش-کرنش کششی بتن به کار رفته در نرم افزار *ABAQUS* ..... ۴۷

..... شکل ۳-۱۷ نحوه تاثیر پارامترهای آسیب در نرم افزار ABAQUS [۴۲]	۴۸
..... شکل ۳-۱۸ تعدادی از مدل های ارائه شده برای بیان نمودارهای تنش - کرنش فولاد	۴۹
..... شکل ۴-۱ دو نمونه از پر کاربردترین اسلیوهای مورد استفاده در سازه های پیش ساخته	۵۳
..... شکل ۴-۲ اسلیو معرفی شده توسط Alfred A. Yee و روش به کارگیری آن [۵۷]	۵۶
..... شکل ۴-۳ روش های مختلف اجرای اتصال اعضا به کمک اسلیو [۵۸]	۵۶
..... شکل ۴-۴ جزئیات نمونه ها در تحقیقات Einea و همکاران [۵۹]	۵۷
..... شکل ۴-۵ جزئیات اسلیوهای به کار رفته در اتصالات پیش ساخته در تحقیقات KIM [۶۰]	۵۸
..... شکل ۴-۶ نمودار بار - لغزش یک اتصال اسلیو مورد آزمایش در تحقیقات Kim [۶۰]	۵۸
..... شکل ۴-۷ مراحل آزمایش های کشش توصیه شده توسط ASTM A1034-05 [۶۲]	۶۰
..... شکل ۴-۸ انواع شکست در نمونه های آزمایشی در تحقیقات مؤسسه حمل و نقل میشیگان [۶۲]	۶۰
..... شکل ۴-۹ نمونه های مورد آزمایش در تحقیقات مشترک دانشگاه تکنولوژی و موسسه تحقیقات ساختمان مالزی [۶۳ و ۶۴]	۶۱
..... شکل ۴-۱۰ مودهای شکست نمونه ها در تحقیقات مشترک دانشگاه تکنولوژی و موسسه تحقیقات ساختمان مالزی [۶۳ و ۶۴]	۶۱
..... شکل ۴-۱۱ نمونه های مورد بررسی در تحقیقات Hiang Miang [۶۵]	۶۲
..... شکل ۴-۱۲ دیاگرام جسم آزاد مقطع اسلیو	۶۳
..... شکل ۴-۱۳ نمودار مدل تنش چسبندگی - لغزش ارائه شده توسط Eligehausen و همکاران [۶۹]	۶۴
..... شکل ۴-۱۴ مدل باز شدگی بتن ترک خورده اطراف آرماتور تحت تنش های محصور شدگی ارائه شده توسط Van der Veen [۷۱]	۶۵
..... شکل ۴-۱۵ مراحل سه گانه ای مدل استوانه ای جدار ضخیم در نمودار تنش - کرنش شعاعی [۷۰]	۶۶
..... شکل ۴-۱۶ مدل چسبندگی - لغزش ارائه شده برای آرماتورهای آجدار ارائه شده توسط Haskett و همکاران [۷۲]	۶۷
..... شکل ۴-۱۷ مرحله آغاز لغزش میلگرد آجدار از داخل بتن	۶۷
..... شکل ۴-۱۸ زوال چسبندگی بتن و میلگرد آجدار و رفتار اصطکاکی بین سطوح	۶۸
..... شکل ۴-۱۹ مدل عددی تنش چسبندگی - لغزش ارائه شده در آین نامه CEB-FIP 90 [۷۳]	۶۹
..... شکل ۴-۲۰ مدل تنش چسبندگی - لغزش ارائه شده به المان های چسبنده	۷۲
..... شکل ۴-۲۱ معیار تنش های مستقل ماکریم مورد استفاده در المان های چسبنده [۴۲]	۷۳

شکل ۴-۲۲ مدل چسبندگی -لغزش با الگوی کاهش خطی در سختی [۴۲].....	۷۴
شکل ۴-۲۳ مدل چسبندگی -لغزش با الگوی کاهش سختی به صورت نمایی [۴۲].....	۷۴
شکل ۴-۲۴ راستاهای اصلی معرفی شده به المان‌های چسبنده در مدل‌سازی [۴۲].....	۷۵
شکل ۴-۲۵ نحوه‌ی در نظر گرفتن رفتار چسبندگی -لغزش مورد نظر با استفاده از چهار المان چسبنده .....	۷۶
شکل ۴-۲۶ نمایش پارامترهای ارائه شده در جدول مشخصات هندسی اسلیوهای تولیدی شرکت NMB [۵۸].....	۷۷
شکل ۴-۲۷ نمودار تنش چسبندگی -لغزش به کار رفته در مدل‌سازی اتصال اسلیو مؤسسه حمل و نقل میشیگان .....	۷۹
شکل ۴-۲۸ مشخصات هندسی آرماتور #۶ [۷۶].....	۸۰
شکل ۴-۲۹ نحوه‌ی تخصیص دادن مواد و مشبندی در طول و مقطع عرضی اتصال اسلیو .....	۸۰
شکل ۴-۳۰ کنترل راستاهای اصلی در المان‌های چسبنده .....	۸۱
شکل ۴-۳۱ مقایسه‌ی نمودار بار - تغییر مکان حاصل از تحلیل عددی و نتایج آزمایشگاهی اتصال اسلیو .....	۸۲
شکل ۴-۳۲ تغییرات تنش‌های مایسز در طول اتصال اسلیو .....	۸۳
شکل ۴-۳۳ میزان آسیب‌های وارد شده به گروت داخل اسلیو در اثر تنش‌های کششی .....	۸۳
شکل ۴-۳۴ نمودار بار - تغییر مکان حاصل از تحلیل عددی اسلیو به کار رفته در تحقیقات Ousalem و همکاران [۳۴] .....	۸۵
شکل ۴-۳۵ مقایسه‌ی نمودار تنش - کرنش آرماتور و تحلیل عددی اتصال اسلیو به کار رفته در تحقیقات Ousalem و همکاران [۳۴] .....	۸۵
شکل ۴-۳۶ نمودار بار - تغییر مکان حاصل از تحلیل عددی اسلیو اتصالات پیش‌ساخته .....	۸۷
شکل ۴-۳۷ تغییرات تنش‌های مایسز در طول اتصال اسلیو و ایجاد گسیختگی در آرماتورهای خارج از اسلیو .....	۸۷
شکل ۴-۳۸ مقایسه‌ی نمودار تنش - کرنش آرماتورها و اتصال اسلیو اتصالات پیش‌ساخته .....	۸۷
شکل ۴-۳۹ نمایی از ابعاد در نظر گرفته شده برای طراحی اسلیو (واحدها بر حسب میلیمتر هستند) .....	۸۸
شکل ۴-۴۰ نمایی از نمونه اسلیوهای مورد آزمایش .....	۸۸
شکل ۴-۴۱ یکی از اسلیوهای ساخته شده تحت آزمایش کشش مستقیم .....	۸۹
شکل ۴-۴۲ نمودار بار - تغییر طول بدست آمده از آزمایش کشش مستقیم اتصال آرماتورهای قطر ۱۸ میلیمتر به کمک اسلیو .....	۸۹
شکل ۴-۴۳ نمودار بار - تغییر طول بدست آمده از آزمایش کشش مستقیم اتصال آرماتورهای قطر ۲۰ میلیمتر به کمک اسلیو .....	۹۰
شکل ۵-۱ ابعاد و نحوه‌ی فولادگذاری مقاطع تیر و ستون اتصال یکپارچه در تحقیقات Cheok و همکاران [۲۰].....	۹۲

- شکل ۵-۲ ابعاد و نحوه‌ی بارگذاری وارد بر اتصال در تحقیقات *Cheok* و همکاران [۲۰] ..... ۹۳
- شکل ۵-۳ شیوه‌ی مشبندی بتن اتصال یکپارچه ..... ۹۴
- شکل ۵-۴ شیوه‌ی مدل‌سازی میلگردهای طولی و عرضی اتصال یکپارچه ..... ۹۴
- شکل ۵-۵ نمودار بار- تغییر مکان آزمایشگاهی و تحلیلی برای اتصال بتنی یکپارچه *Cheok* و همکاران [۲۰] ..... ۹۵
- شکل ۵-۶ مقادیر تنش مایسز در آرماتورهای اتصال یکپارچه در انتهای بارگذاری مدل تحلیلی ..... ۹۶
- شکل ۵-۷ الگوی ترک خوردگی در مدل اتصال یکپارچه تحت بارگذاری نهایی ..... ۹۶
- شکل ۵-۸ ابعاد و مقاطع نمونه اتصال پیش‌ساخته در تحقیقات *Ousalem* و همکاران [۳۳] ..... ۹۷
- شکل ۵-۹ میزان سربار محوری وارد بر ستون در تحقیقات *Ousalem* و همکاران [۳۴] ..... ۹۸
- شکل ۵-۱۰ جزئیات چشمی اتصال در اتصال بتنی پیش‌ساخته مورد بررسی ..... ۹۹
- شکل ۵-۱۱ نحوه‌ی مشبندی و آرماتورگذاری اتصال بتنی پیش‌ساخته معرفی شده توسط *Ousalem* و همکاران [۳۴] ..... ۹۹
- شکل ۵-۱۲ نمودار نیروی برشی- زاویه دریفت طبقه آزمایشگاهی و تحلیلی برای اتصال مورد نظر تحت بار محوری فشاری ..... ۱۰۰
- شکل ۵-۱۳ نمودار نیروی برشی- زاویه دریفت طبقه آزمایشگاهی و تحلیلی برای اتصال مورد نظر تحت بار محوری کششی ..... ۱۰۱
- شکل ۵-۱۴ نمودار تنش- کرنش آرماتورهای طولی تیر و ستون در دریفت جانبی [۰/۰۱۹] ..... ۱۰۲
- شکل ۵-۱۵ وضعیت تنش‌های مایسز ایجاد شده در آرماتورهای اتصال پیش‌ساخته با سربار فشاری ..... ۱۰۳
- شکل ۵-۱۶ وضعیت تنش‌های ایجاد شده در آرماتورهای اتصال پیش‌ساخته با سربار کششی ..... ۱۰۴
- شکل ۵-۱۷ الگوی ترک خوردگی در مدل اتصال پیش‌ساخته در انتهای بارگذاری با سربار فشاری ..... ۱۰۵
- شکل ۵-۱۸ الگوی ترک خوردگی در مدل اتصال پیش‌ساخته در انتهای بارگذاری با سربار کششی ..... ۱۰۵
- شکل ۵-۱۹ ابعاد و جزئیات مقاطع اتصال پیش‌ساخته پیشنهادی توسط *Restrepo* و همکاران [۸] ..... ۱۰۸
- شکل ۵-۲۰ نحوه بارگذاری جانبی اتصال پیش‌ساخته در آزمایش *Restrepo* و همکاران [۸] ..... ۱۱۰
- شکل ۵-۲۱ نحوه‌ی مشبندی اتصال پیش‌ساخته پیشنهادی توسط *Restrepo* و همکاران [۸] (نقطاً پر رنگ‌تر بینانگر بتن در جاریز هستند) ..... ۱۱۱
- شکل ۵-۲۲ نحوه آرماتورگذاری اتصال پیش‌ساخته پیشنهادی توسط *Restrepo* و همکاران [۸] ..... ۱۱۱
- شکل ۵-۲۳ نمودارهای بار- تغییر مکان آزمایشگاهی و تحلیلی برای اتصال بتنی پیش‌ساخته ..... ۱۱۲
- شکل ۵-۲۴ وضعیت تنش‌های مایسز ایجاد شده در آرماتورهای اتصال پیش‌ساخته در انتهای بارگذاری مدل تحلیلی ..... ۱۱۳

- شکل ۵-۲۵ الگوی ترک خوردگی در نمای خارجی مدل اتصال پیش ساخته در انتهای بارگذاری ..... ۱۱۴
- شکل ۵-۲۶ الگوی ترک خوردگی در مقطع داخلی مدل اتصال پیش ساخته در انتهای بارگذاری ..... ۱۱۴
- شکل ۵-۲۷ مقایسه نمودارهای بار-تغییر مکان آزمایشگاهی و تحلیلی برای اتصال بتی پیش ساخته ..... ۱۱۶
- شکل ۵-۲۸ نمودار شماتیکی از تنش پیوستگی-لغزش برای آرماتورهای مدفون در بتن ..... ۱۱۶
- شکل ۵-۲۹ وضعیت تنش های مایسز در آرماتورهای اتصال و در محل لغزش ..... ۱۱۷
- شکل ۵-۳۰ نمایش برداری جهات و مقادیر کرنش های اصلی در المان های اطراف آرماتورهای طولی تیر در ناحیه چشم اتصال ..... ۱۱۸
- شکل ۶-۱ پلان طبقات سازه‌ی طراحی شده ..... ۱۲۰
- شکل ۶-۲ مقاطع ستون و تیر طراحی شده برای اتصالات مورد بررسی ..... ۱۲۰
- شکل ۶-۳ مشخصات طولی اعضاء، شرایط تکیه گاهی و نحوه‌ی بارگذاری اتصالات مورد بررسی ..... ۱۲۱
- شکل ۶-۴ نمودار بار-تغییر مکان جانبی اتصال یکپارچه با حضور سربار فشاری'  $0.2A_g f_c'$  ..... ۱۲۲
- شکل ۶-۵ نمودار بار-تغییر مکان جانبی اتصال پیش ساخته با حضور سربار فشاری'  $0.2A_g f_c'$  ..... ۱۲۳
- شکل ۶-۶ الگوی ترک خوردگی اتصال یکپارچه با حضور سربار فشاری'  $0.2A_g f_c'$  ..... ۱۲۴
- شکل ۶-۷ الگوی ترک خوردگی اتصال پیش ساخته با حضور سربار فشاری'  $0.2A_g f_c'$  ..... ۱۲۴
- شکل ۶-۸ میزان جذب انرژی در اتصال یکپارچه با حضور سربار فشاری'  $0.2A_g f_c'$  ..... ۱۲۵
- شکل ۶-۹ میزان جذب انرژی در اتصال پیش ساخته با حضور سربار فشاری'  $0.2A_g f_c'$  ..... ۱۲۵
- شکل ۶-۱۰ نمودار بار-تغییر مکان جانبی اتصال یکپارچه با حضور سربار فشاری'  $0.5A_g f_c'$  ..... ۱۲۶
- شکل ۶-۱۱ نمودار بار-تغییر مکان جانبی اتصال پیش ساخته با حضور سربار فشاری'  $0.5A_g f_c'$  ..... ۱۲۶
- شکل ۶-۱۲ الگوی ترک خوردگی اتصال یکپارچه با حضور سربار فشاری'  $0.5A_g f_c'$  ..... ۱۲۷
- شکل ۶-۱۳ الگوی ترک خوردگی اتصال پیش ساخته با حضور سربار فشاری'  $0.5A_g f_c'$  ..... ۱۲۷
- شکل ۶-۱۴ میزان جذب انرژی در اتصال یکپارچه با حضور سربار فشاری'  $0.5A_g f_c'$  ..... ۱۲۸
- شکل ۶-۱۵ میزان جذب انرژی در اتصال پیش ساخته با حضور سربار فشاری'  $0.5A_g f_c'$  ..... ۱۲۸
- شکل ۶-۱۶ تسليم شدن آرماتورهای برشی چشم اتصال در اتصال یکپارچه با حضور سربار کششی'  $0.5A_y F_y$  ..... ۱۳۰
- شکل ۶-۱۷ تسليم شدن آرماتورهای طولی ستون در اتصال پیش ساخته با حضور سربار کششی'  $0.5A_y F_y$  ..... ۱۳۰

- شکل ۶-۱۸ نمودار بار- تغییر مکان جانبی اتصال یکپارچه با حضور سریار کششی  $0.5A_s F_y$  ..... ۱۳۱
- شکل ۶-۱۹ نمودار بار- تغییر مکان جانبی اتصال پیش ساخته با حضور سریار کششی  $0.5A_s F_y$  ..... ۱۳۱
- شکل ۶-۲۰ الگوی ترک خوردگی اتصال یکپارچه با حضور سریار کششی  $0.5A_s F_y$  ..... ۱۳۲
- شکل ۶-۲۱ الگوی ترک خوردگی اتصال پیش ساخته با حضور سریار کششی  $0.5A_s F_y$  ..... ۱۳۲
- شکل ۶-۲۲ میزان جذب انرژی در اتصال یکپارچه با حضور سریار کششی  $0.5A_s F_y$  ..... ۱۳۳
- شکل ۶-۲۳ میزان جذب انرژی در اتصال پیش ساخته با حضور سریار کششی  $0.5A_s F_y$  ..... ۱۳۳
- شکل ۶-۲۴ نمودار بار- تغییر مکان جانبی اتصال یکپارچه با حضور سریار کششی  $0.9A_s F_y$  ..... ۱۳۴
- شکل ۶-۲۵ نمودار بار- تغییر مکان جانبی اتصال پیش ساخته با حضور سریار کششی  $0.9A_s F_y$  ..... ۱۳۴
- شکل ۶-۲۶ تسليم شدن آرماتورهای طولی ستون در اتصال یکپارچه با حضور سریار کششی  $0.9A_s F_y$  ..... ۱۳۵
- شکل ۶-۲۷ تسليم شدن آرماتورهای طولی ستون در اتصال پیش ساخته با حضور سریار کششی  $0.9A_s F_y$  ..... ۱۳۵
- شکل ۶-۲۸ الگوی ترک خوردگی اتصال یکپارچه با حضور سریار کششی  $0.9A_s F_y$  ..... ۱۳۶
- شکل ۶-۲۹ الگوی ترک خوردگی اتصال پیش ساخته با حضور سریار کششی  $0.9A_s F_y$  ..... ۱۳۷
- شکل ۶-۳۰ میزان جذب انرژی در اتصال یکپارچه با حضور سریار کششی  $0.9A_s F_y$  ..... ۱۳۷
- شکل ۶-۳۱ میزان جذب انرژی در اتصال پیش ساخته با حضور سریار کششی  $0.9A_s F_y$  ..... ۱۳۸
- شکل ۶-۳۲ نمودار بار- تغییر مکان جانبی اتصال بتی یکپارچه با حضور مقادیر مختلف سریار وارد بر روی ستون ..... ۱۳۸
- شکل ۶-۳۳ میزان جذب انرژی اتصال بتی یکپارچه با حضور مقادیر مختلف سریارهای وارد بر روی ستون ..... ۱۴۰

## فهرست جداول

عنوان	صفحه
جدول ۴-۱ جزئیات آزمایش‌های کشش و فشار رفت و برگشتی [۵۵]	۵۵
جدول ۴-۲ پارامترهای مورد نیاز جهت مدل چسبندگی-لغزش ارائه شده در آینه نامه CEB-FIP 90 [۷۳]	۷۰
جدول ۴-۳ مشخصات هندسی اسلیو‌های تولیدی شرکت NMB [۵۸]	۷۸
جدول ۴-۴ مشخصات هندسی به کار رفته در مدل‌سازی اتصال اسلیو مؤسسه حمل و نقل میشیگان	۷۸
جدول ۴-۵ مشخصات مواد به کار رفته در اتصال اسلیو [۶۱]	۷۹
جدول ۴-۶ مقادیر مشخصات هندسی و مکانیکی آرماتور #۶ [۷۶]	۷۹
جدول ۴-۷ مشخصات مواد به کار رفته در اسلیو استفاده شده در تحقیقات Ousalem و همکاران [۳۴]	۸۴
جدول ۴-۸ مشخصات هندسی به کار رفته جهت مدل‌سازی اسلیو استفاده شده در تحقیقات Ousalem و همکاران [۳۴]	۸۴
جدول ۴-۹ مشخصات مواد به کار رفته در اسلیو اتصالات پیش‌ساخته	۸۶
جدول ۴-۱۰ مشخصات هندسی به کار رفته جهت مدل‌سازی اسلیو اتصالات پیش‌ساخته	۸۶
جدول ۴-۱۱ مشخصات مصالح مصرفي در اسلیو مورد آزمایش	۹۰
جدول ۵-۱ مشخصات مواد به کار رفته برای مدل‌سازی اتصال یکپارچه در تحقیقات Cheok و همکاران [۲۰]	۹۳
جدول ۵-۲ مشخصات مقاطع تیر و ستون در اتصال مورد نظر [۳۴]	۹۸
جدول ۵-۳ مشخصات مصالح مورد استفاده در اتصال بتنی پیش‌ساخته [۳۴]	۹۸
جدول ۵-۴ مقایسه برش نهایی طبقه به دست آمده از تحلیل عددی و آزمایشگاهی	۱۰۲
جدول ۵-۵ مشخصات مقاطع تیر و ستون در اتصال پیشنهادی توسط Restrepo و همکاران [۸]	۱۰۹
جدول ۵-۶ مشخصات مصالح استفاده شده در اتصال پیشنهادی توسط Restrepo و همکاران [۸]	۱۰۹
جدول ۵-۷ درصد اختلاف بین نتایج آزمایشگاهی و تحلیل عددی	۱۱۵
جدول ۶-۱ مشخصات مواد مورد استفاده در اتصالات مورد بررسی	۱۲۱
جدول ۶-۲ مقایسه رفتار جانبی اتصال بتنی یکپارچه با حضور مقادیر مختلف سربارهای وارد بر روی ستون	۱۳۹